

K - SB

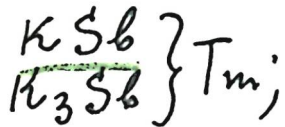


(3303)

1915

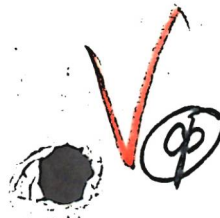
Parravano S.N.

4, Gazz. chim. ital., 45 I, 485 (1915)



Circ. 500

Be +1



erroneo op. K

1957

$K_3$  зв., Морозова И. Г. Геодезия и гп.  
Ис. общ. химии, 1957, 27, № 7  
1746-1747.

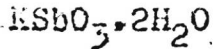
Модель пишущих образований ани-  
мирована краин и высокогигантских  
калиев.

Мод. ( $K_3$  зв.) =  $-71,4 \pm 2$  мкаг

(6)

X-58-3-7124

138



1959

Siebert H.,

Z.anorgan.and allgem.Chem., 1959,  
301, N 3-4, 161-170

Инфракрасные спектры теллуровых  
кислот, теллуратов и антимонатов.

РХ., 1960, № 10, 37700

10



Без.Ф.

Б.С.Г. № 10. № 10.

K58

BP-1382-X

1961.

Busmann E., et al

Книги.  
Справки.

Z. anorg. und allg. Chem.  
1961, 312, (1-2), 53-59

VI -3835

1961

~~V-471~~

$\text{AgBF}_4$  (η<sub>p</sub>),  $\text{KPF}_6$  (η<sub>p</sub>),  
 $\text{KSbF}_6$ ,  $\text{TlSbF}_6$  (η<sub>p</sub>)

Clifford A.F., Kongpricha S.

Trans. Faraday Soc., 1961, 57, N 11,  
1963-1967

The hydrogen fluoride solvent system  
VI. The acid strength of  $\text{BF}_3$ ,  $\text{PF}_5$  and  
 $\text{SbF}_5$  in liquid HF  
P.K., 1962, 235744

w, Ja

orig

F

X-6487

1961

MeSb, Me<sub>3</sub>Sb, Me<sub>3</sub>Sb<sub>2</sub>, MeBi<sub>2</sub>, Me=K, Rb,  
KAs, K<sub>3</sub>As, K<sub>5</sub>As<sub>4</sub>, CsBi, Cs<sub>5</sub>Sb, (Tm)<sup>Cs</sup>  
KAs<sub>2</sub>, Rb<sub>5</sub>Sb<sub>2</sub> (Tm, Tl)

Dorn F. W., Kleemann W.  
Z. anorgan. und allgem. Chem.,  
1961, 309, 189-203



5 Echte f.s.k.

VI 3558

1969

KSBCl<sub>6</sub>(Kc); K/Cl<sub>5</sub>TiOPCl<sub>3</sub>/ (Kc)

RbSbCl<sub>6</sub> (Kc); /Al(OPCl<sub>3</sub>)<sub>6</sub>/ /FeCl<sub>4</sub>/<sub>3</sub> (Kc)

KFeCl<sub>4</sub> (Kc).

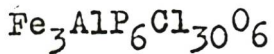
Gutmann V., Mairinger F.

Monatsh. Chem., 1961, 92, N 3, 720-24

Ebullioskopische Untersuchungen in Phosphoroxychlorid. 2. Mitt.

PJX, 1962, 125531

J., W.



F

orig.

X-6486

1968

M<sub>3</sub>Sb, MSb, M<sub>3</sub>Sb<sub>7</sub>, M<sub>Bi<sub>2</sub></sub>, M=K, Rb, Cs  
KAs, K<sub>3</sub>As, K<sub>5</sub>As<sub>4</sub>, CsBi, Cs<sub>5</sub>Sb<sub>4</sub>, Rb<sub>5</sub>Sb<sub>2</sub>  
KAs<sub>2</sub>, Rb<sub>5</sub>Sb<sub>2</sub> (T<sub>m</sub>, T<sub>tr</sub>)

Gnutzmann G., Klemm W.,  
Z. anorgan. und allgemeine Chem.,  
1961, 309, 181-188

5

еерб о.к.

X-6489

1989

MSb, M<sub>3</sub>Sb, M<sub>3</sub>Sb<sub>7</sub>, MBi<sub>2</sub>, ge M = K, Rb, Cs,  
KAs, K<sub>3</sub>As, K<sub>5</sub>As<sub>4</sub>, CsBi, Cs<sub>5</sub>Sb<sub>4</sub> (Tm)  
KAs<sub>2</sub>, Rb<sub>5</sub>Sb<sub>2</sub> (Tm, T<sub>tr</sub>)

Grutzmann G., Dorn F.W., Klemm W.,  
Z. anorgau. und allgemein. Chem.,

1961, 309, 210-225

20

○Б

еето q.k.

3KBr · 2SbBr<sub>3</sub> Терешев В.Е. упр. 1969

3KBr · SbBr<sub>3</sub> № 89306, Учен. лист,  
N4, 112

T<sub>m</sub>

(Cе. RB-Sb) I

*1967*  
 $K_2SbF_5$

У7 В29. Калий — сурьма фтористая. Калий пентафторантимонат. Бреусов О. Н., Лаврентьева В. Г. В сб. «Методы получения хим. реактивов и препаратов». Вып. 16. М., 1967, 160—161

Охлажденный р-р 42 г KOH в 210 мл воды нейтрализуют 37 мл 40%-ной HF; pH р-ра после нейтр-ции должен быть 5—6. К полученному р-ру KF прибавляют р-р 62 г SbF<sub>3</sub> в 150 мл воды и выпаривают р-р под ИК-лампой досуха, при перемешивании. Выход K<sub>2</sub>SbF<sub>5</sub> равен 96 г или 95% от теории.

И. Г. Рысс

*X. 1968. 7*

1987

17 Б792. Термодинамические свойства соединений калия с сурьмой. Воронин Г. Ф., Нгуен Тхак Шиу, Мухамеджанова Н. М., Герасимов Я. И. «Ж. физ. химии», 1967, 41, № 11, 2978—2981

Измерено давление пара калия над твердыми сплавами  $K-Sb$  при различных составах и температурах между 340 и 670° К. Применились сурьма 99,999% чистоты и калий 99,5% чистоты. В соответствии с диаграммой состояний системы обнаружены пять фазовых областей: 1 — область равновесия между жидк. р-рами Sb в K и соединением  $K_3Sb$ , 2 — равновесие  $K_3Sb$  и  $K_5Sb_4$ , 3 —  $K_5Sb_4$  и  $KSb$ , 4 —  $KSb$  и  $KSb_2$ , 5 — равновесие  $KSb_2$  и Sb. Определены следующие  $\Delta G$  соединений K и Sb (для температур 610—670° К)  $\Delta G(\text{обр.}, KSb_2) = (3,5 + 0,6)T - (8740 \pm 360)$ ,  $\Delta G(\text{обр.}, KSb) = (2,7 \pm 0,7)T - (11\ 200 \pm 430)$ ,  $\Delta G(\text{обр.}, K_5Sb_4) = (2,9 + 0,7)T - (11\ 300 \pm 400)$ ,  $\Delta G(\text{обр.}, K_3Sb) = (4,2 \pm 0,5)T - (11\ 900 \pm 280)$ .

Блудова

K - Sb $K_x Sb_y$  $\Delta G_f$ X · 1968 · 17

LISSES (See), NASSAUER, KESSEL, 1968  
CSESSE (See) (Tm) LI X-6177

Беруна С. А., Дунайск Н. Н., Романовский А. Г.

ДИ. АСОФАР. ХУМУ, 1968, 13, NS, 1265-1271

Изучение и описание схематического и микроскопического  
состава и свойств иллюстрированных

5 (P)

ПИКЕРН, 1968  
21352

KSBSe<sub>2</sub>

1969

Berul S. Y., et al.

pub. u  
xmas.  
cb. 60

Khim. Sovetsk. trist.,  
1969, 485.

● (Acc. Zn-Sb) I

10 X 5758 1969

$\text{Na}_x\text{Sb}_y$ ,  $\text{K}_x\text{Sb}_y$ ,  $\text{Pb}_x\text{Sb}_y$  14 DF

Gerassimov Y. J. Voroniu GF, Shiu Nguen  
Thak, "J. Chem Thermodyn", 1969, 1,  
N 5, 425-434 (ауд).

Термодинамическое в-во изомеризаци-  
онных соединений типа  $A^I + B^D$ .

① A, Al, B лено пк

ФМ, 1970, № 347

1969

K Sb Cl<sub>4</sub>

K etas.

33951e Gas chromatographic evaluation of equilibrium in fused salts. I. The tetrachloroaluminate and tetrachloroferrate systems. Juvet, Richard S., Jr.; Shaw, Vernon R.; Khan, M. Aslam (Univ. of Illinois, Urbana, Ill.). J. Amer. Chem. Soc. 1969, 91(14), 3788-92 (Eng). Gas chromatog. has been applied for the 1st time for the detn. of complex stability consts. in inorg. fused-salt systems. Sp. retention vols., partition coeffs., and other thermodynamic data for the volatile solutes SbCl<sub>5</sub>, NbCl<sub>5</sub>, and TaCl<sub>5</sub> in a series of alkali metal tetrachloroaluminate and tetrachloroferrate liq. phases show that complexes formed between the solute and solvent exhibit decreasing stability with change of liq.-phase alkali metal in the order K > Tl > Na > Li. Variations are due to differences in availability of complexing chloride ion resulting from the equil.

+3

C.A. 1969.

71.8

☒

$2\text{AlCl}_4^- \rightleftharpoons \text{Al}_2\text{Cl}_7^- + \text{Cl}^-$ . Through measurements of the gas chromatographic partition coeff. of  $\text{SbCl}_3$  as a function of added excess alkali metal chloride in the tetrachloroaluminate and tetrachloroferrate liq. phases, the following equil. have been established:  $\text{KCl} + \text{SbCl}_3 \rightleftharpoons \text{KSbCl}_4$ ,  $K_f = 40 \pm 10$  at  $290^\circ$  in  $\text{KFeCl}_4$  and in  $\text{KAICl}_4$ ;  $\text{TlCl} + \text{SbCl}_3 \rightleftharpoons \text{TlSbCl}_4$ ,  $K_f = 0.8 \pm 0.2$  at  $315^\circ$  in  $\text{TlAlCl}_4$ ;  $2\text{FeCl}_4^- \rightleftharpoons \text{Fe}_2\text{Cl}_7^- + \text{Cl}^-$ ,  $K_d = 4 \times 10^{-4}$  at  $290^\circ$  in  $\text{KFeCl}_4$ ;  $2\text{AlCl}_4^- \rightleftharpoons \text{Al}_2\text{Cl}_7^- + \text{Cl}^-$ ,  $K_d = 3 \times 10^{-4}$  at  $289^\circ$  in  $\text{KAICl}_4$ ; and  $K_d = 6.5 \times 10^{-3}$  at  $315^\circ$  in  $\text{TlAlCl}_4$  melt.

RCJC

7KBr · 3SbBr<sub>3</sub>

Bsp X-4241

1969

3KBr · 2SbBr<sub>3</sub>

3

D23 B124. Термическая устойчивость комплексных бромидов сурьмы и калия. Кешелава В. Г., Степина С. Б., Зимина Г. В., Плющев В. Е. «Изв. высш. учеб. заведений. Цветн. металлургия», 1969, № 3, 79–85

Методами тензиметрии и термогравиметрии изучен процесс термич. разложения соединений 7KBr · 3SbBr<sub>3</sub> (I) и 3KBr · 2SbBr<sub>3</sub> (II). Установлено, что I диссоциирует на бромиды K и Sb без образования промежут. соединений. Соединение II диссоциирует ступенчато через образование на первой стадии I. Рассчитана зависимость  $\lg p = f(1/T)$  для процессов диссоциации соединений I и II и определены теплоты диссоциации в исследованном интервале температур.

Резюме

X. 1969. 23

4589-71  
1969

74-116585

4589-71  
1969

116585b Solubility and solid phases in MI-SbI<sub>3</sub>-H<sub>2</sub>O systems.  
Zimina, G. V.; Molchanova, O. P.; Stepina, S. B.; Plyushchev,  
V. E. (USSR). *Rech. Shchelochnye Elemt.* 1969, 199-207 (Russ.).  
From *Ref. Zh., Khim.* 1970, Abstr. No. 13B997. Solv. in MI-  
SbI<sub>3</sub>-H<sub>2</sub>O systems, where M = K, Rb, and Cs, was studied by  
an isothermal method at 25°. Complex iodides 2KI·SbI<sub>3</sub>, 3Rb-  
I·2SbI<sub>3</sub>, and 3CsI·2SbI<sub>3</sub> were identified by x-ray phase anal. The thermal stability of  
these iodides was studied by thermogravimetric anal. and DTA.  
A tensiometric study of the resulting compds. was carried out by a  
flow method in a N stream. MSRK

ET Sacroyzc

KD<sub>2</sub>PO<sub>4</sub> (Tc) 10 X 5289 1970

Paul G.L., Cochran W., Buyers W.J. L.,  
Cowley R.A.

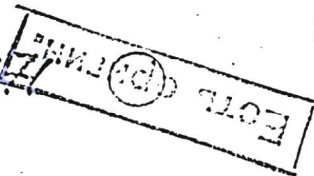
Phys. Rev. B: Solid State, 1970, 2, VII,  
4603-4612 (ans.)

Ferroelectric transition in KD<sub>2</sub>PO<sub>4</sub>.

6

5 (P)

PHL 1970  
136494



2KJ·SbJ<sub>3</sub> 14 Б937. Диаграммы плавкости двойных систем  
MeJ—SbJ<sub>3</sub> и MeJ—BiJ (Me—K, Rb, Cs). Плю-  
щев В. Е., Степина С. Б., Зимина Г. В., Мол-  
чанова О. П., Савельева Л. В., Яшков Д. А.  
«Изв. высш. учебн. заведений. Цветн. металлургия»,  
1970, № 1, 65—68.

Методами термич. и рентгеновского фазового анализа изучены двойные системы, образованные йодидами Sb и Bi с йодидами K, Rb и Cs. Система KJ—SbJ<sub>3</sub> характеризуется образованием инконгруэнто плавящегося (390°) соединения 2KJ·SbJ<sub>3</sub>. В системах RbJ—SbJ<sub>3</sub> и CsJ—SbJ<sub>3</sub> обнаружены конгруэнто плавящиеся (496 и 619°) соединения с отношением Rb(Cs)J : SbJ<sub>3</sub> = 3 : 2. В системе KJ—BiJ<sub>3</sub> обнаружено инконгруэнто плавящееся (409°) соединение 3KJ·2BiJ<sub>3</sub>. Системы RbJ—BiJ<sub>3</sub> и CsJ—BiJ<sub>3</sub> характеризуются образованием оконгруэнто плавящихся соотв. при 508 и 634° соединений 3RbJ·2BiJ<sub>3</sub> и 3CsJ·2BiJ<sub>3</sub>.

Резюме

X. 1970.

14

+4



2 KJ. SBJ  
3

T<sub>m</sub>

†

C. A. 1970-73

Bφ 4705 - X

1970

49173e Phase diagram of MI-SbI<sub>3</sub> and MI-BiI<sub>3</sub> (M is potassium, rubidium, cesium) binary systems. Plyushchев, V. E.; Stepina, S. B.; Zimina, G. V.; Molchanova, O. P.; Savel'eva, L. V.; Yashkov, D. A. (Mosk. Inst. Tonkoi Khim. Tekhnol., Moscow, USSR). Izv. Vyssh. Ucheb. Zaved., Tsvet. Met. 1970, 13(1), 65-8 (Russ). The reaction of MI-SbI<sub>3</sub> and MI-BiI<sub>3</sub> systems where M is K, Rb, and Cs were studied by thermal anal. and the phase diagram is given. The KI-SbI<sub>3</sub> system is characterized by the formation of the incongruently melting compd. 2KI.SbI<sub>3</sub> with m.p. 390°. The RbI-SbI<sub>3</sub> and CsI-SbI<sub>3</sub> systems have compds. with mol. ratio Rb(Cs)I:SbI<sub>3</sub> = 3:2, which melt congruently at 496 and 619°, resp. The RbI-BiI<sub>3</sub> and CsI-BiI<sub>3</sub> form 2 congruently melting compds., 3RbI.2BiI<sub>3</sub> and 3CsI.2BiI<sub>3</sub>, with m.ps. at 508 and 634°, resp. The incongruently melting compd. 3KI.2BiI<sub>3</sub>, m. 409° was found in the KI-BiI<sub>3</sub> system. All m.p. were verified by X-ray phase analysis.

Evan N. Davidenko

+3



LiSB, NaSB, KSB, RBSB краев. (АИГ). 1940

Воронеж Т. П., № Х 4913

Ж. · приз. науч., 1940, № 6, 1538-40  
(рис.).

Модель химической связи  
гетероциклического соеди-  
нения типа  $A^{\pm}B^{\mp}$ .

и 9 ⑨

СА, 1940, № 3, № 4, 704828

$\text{Li}_2\text{S-Sb}_2\text{S}_3$ ;  $\text{Na}_2\text{S-Sb}_2\text{S}_3$ ; (§ 6979) 1971  
 $\text{K}_2\text{S-Sb}_2\text{S}_3$ ;  $\text{Rb}_2\text{S-Sb}_2\text{S}_3$ ; (раз. гидр.)  
 $\text{Li}_2\text{Se-Sb}_2\text{S}_3$ ;  $\text{Na}_2\text{Se-Sb}_2\text{S}_3$ ;  $\text{K}_2\text{Se-Sb}_2\text{S}_3$

Богородич С. Н., Лодарев В. П., Саюб А. Б.,

Жур. неорг. хим., 1971, 16, № 12, 3363-6

ДГИИГ [директоре генеральной дирекции (русск.)  
ческих анатом]. разработки гидро-  
магнитных спектров.  $\text{M}_2\text{X-Sb}_2\text{X}_3$ .

№ 5

(ал. оригинал) с. 1972, № 10, 506704

1971

$\text{Li}_2\text{Sb}_4\text{S}_9$ ;  $\text{LiSb}_2$ ;  $\text{Na}_6\text{Sb}_4\text{S}_9$ ,  
 $\text{Na}_3\text{Sb}_3\text{S}_3$ ;  $\text{NaSb}_2$ ,  $\text{K}_6\text{Sb}_4\text{S}_9$ ;  $\text{KSb}_2\text{S}_2$ ;  
 $\text{RbSb}_2\text{S}_2$ ;  $\text{CsSb}_2\text{S}_2$ ;  $\text{LiSb}_2\text{Se}_2$ ;  $\text{NaSb}_2\text{Se}_2$   
 $\text{KsSb}_2\text{Se}_2$  (Tm) X 7821

Razapov B.B., Deryus C.U.,  
Caurov A.B., Therm. Anal.,  
Proc. Int. Conf., 3rd, 1971  
(Pyb. 1972, 2, 171-178)

5

CP

cat3

БФ-6690-Х

571

K<sub>2</sub>SbF<sub>7</sub>

11 Б511. Кристаллическая структура K<sub>2</sub>Sb<sub>2</sub>F<sub>7</sub>. К существованию иона Sb<sub>2</sub>F<sub>7</sub><sup>-</sup>. Mastin S. H., Kyap R. R. Crystal structure of K<sub>2</sub>Sb<sub>2</sub>F<sub>7</sub>. On the existence of the Sb<sub>2</sub>F<sub>7</sub><sup>-</sup>-ion. «Inorg. Chem.», 1971, 10, № 8, 1757—1760 (англ.)

Синтезированы (взаимодействие SbF<sub>3</sub> и KHCO<sub>3</sub> в присутствии 42% водн. р-ра HF), химически и рентгено-графически изучены (метод прецессии и съемка по методу порошка и монокристалла на рентгенодифрактометре,  $\lambda$ Mo, 1856 отражений, МНК, анизотропное приближение,  $R=0,025$  кристаллы K<sub>2</sub>Sb<sub>2</sub>F<sub>7</sub> (I). Параметры монокл. решетки:  $a=10,517$ ,  $b=7,596$ ,  $c=8,599\text{ \AA}$ ,  $\beta=100,85^\circ$ ,  $\rho$ (изм.) 4,11,  $\rho$ (выч.) 4,09,  $Z=4$ , ф. гр.  $P2_1/c$ . Структура I содержит как ионы SbF<sub>6</sub><sup>-</sup>, имеющие тригонально-билирамидальную конфигурацию (межатомные расстояния Sb—F 1,908—2,082 $\text{\AA}$ ), так и нейтр. молекулы SbF<sub>3</sub> с пирамидальной конфигурацией (Sb—F 1,929; 1,927; 1,964  $\text{\AA}$ ). В

Х. 1972. 11

обоих случаях Sb обладает стерически активной свободной парой электронов. Атомы F двух соседних ионов  $SbF_4^-$  дополняют конфигурацию молекулы до искаженной октаэдрич. ( $Sb-F$  2,409; 2,567). В структуре могут быть выделены бесконечные цепи из соединенных вершинами октаэдров и тригон. бипирамид (с учетом для каждого сорта координации свободной пары электронов), проходящие в направлении оси  $u$ . Между цепями располагаются атомы K в сложном окружении из атомов F цепей ( $K-F$  2,651—3,246). Нек-рые короткие контакты K—F действуют на строение молекул  $SbF_3$ , приводя к удлинению одной из связей Sb—F и к отклонению тригон. конфигурации молекулы от предполагаемой симметрии  $3m$ . В структуре I отсутствует ион  $Sb_2F_7^-$  (два соединенных вершинами тетраэдра  $SbF_4$ , ранее установленный в структуре  $CsSb_2F_7$ ). С. В. Рыкова

K Sb<sub>2</sub>F<sub>7</sub>

(Crypnus.)

92212v) Crystal structure of K Sb<sub>2</sub>F<sub>7</sub>. Existence of the Sb<sub>2</sub>F<sub>7</sub><sup>-</sup> ion. Ryan, R. R.; Mastin, S. H. (Los Alamos Sci. Lab., Univ. California, Los Alamos, N. Mex.). *Inorg. Chem.* 1971, 10(8), 1757-60 (Eng). The crystal structure of K Sb<sub>2</sub>F<sub>7</sub> has been detd. by a 3-dimensional single-crystal x-ray diffractometer study. The crystals are monoclinic, space group  $P2_1/c$ , with  $a = 10.517$  (1),  $b = 7.596$  (1), Å,  $c = 8.599$  (1) Å, and  $\beta = 100.85$  (2)°. For  $Z = 4$ ,  $d_{\text{calcd.}} = 4.09$  compared with  $d_{\text{measured}} = 4.11(3)$ . The structure was refined by full-matrix least-squares techniques using 1856 obsd. reflections to an unweighted  $R$  value of 0.025. The structure contains trigonal-bipyramidal SbF<sub>4</sub><sup>-</sup> ions and pyramidal SbF<sub>3</sub> mols. (counting the stereochem. active lone pair of electrons in each case). Axial fluorines of neighboring SbF<sub>4</sub><sup>-</sup> ions complete a distorted octahedral coordination around the SbF<sub>3</sub> mol., with "bridging" Sb-F distances of 2.409 (3) and 2.567 (3) Å. The Sb-F distances in SbF<sub>4</sub><sup>-</sup> are 1.908 (3), 1.933 (3), 2.082 (3), and 2.051 (3) Å for the 2 equatorial and 2 axial fluorines, resp. The Sb-F bond lengths in SbF<sub>3</sub> are 1.927 (4), 1.929 (3), and 1.964 (3) Å. The structure does not contain Sb<sub>2</sub>F<sub>7</sub><sup>-</sup> ions, as has been reported for CsSb<sub>2</sub>F<sub>7</sub>.

1941

C.A. 1941. 45. 14

$K_ySb_x$  ( $\Delta H_f$ ,  $\Delta G_f$ )

Х7326

1972

Бородкина Н.К., Данилович В.И.

Редколледж РН "Электрохимия" АН СССР РН,

1972. Рукопись №п в ВНИИГЧ N4620-72Дн.

от 25 июля 1972г.

Электрохимические исследования ютюгувьес-  
тиловых соединений с органическими

РНХЧМ, 1973

16785Дн.



М (сп)

есть ор

1972

K<sub>3</sub>Sb

KSB

KSh<sub>2</sub>K<sub>5</sub>Sb<sub>4</sub>T<sub>m</sub>

132324n Thermodynamic properties of potassium-antimony system molten alloys. Bykova, M. A.; Morachevskii, A. G. (Leningr. Politekh. Inst., Leningrad, USSR). *Izv. Vyssh. Ucheb. Zaved., Tsvet. Met.* 1972, 15(1), 79-80 (Russ). Emf. of the cell with a solid electrolyte K|glass 95 + K<sub>2</sub>O 5 wt.%|K<sub>x</sub>-Sb<sub>1-x</sub> was measured at atom fraction of K  $x = 0.128-0.637$  and at temps. above the liquidus line up to 630°. A linear dependence of the emf. on temp. was obsd. Partial and integral excess Gibbs free energies, enthalpies, and entropies of the K-Sb system at 900°K were calcd. Large neg. deviations from the ideal behavior were found. Partial molal entropies of K are neg. as the short-range order in alloys is preserved upon melting. Three congruently (K<sub>3</sub>Sb, KSh<sub>2</sub>, and K<sub>5</sub>Sb<sub>4</sub>) and 1 incongruently (K<sub>3</sub>Sb) melting compds. were obsd.

Karel A. Hlavaty

C.A. 1972

76-22

*K<sub>2</sub>Sb<sub>4</sub>S<sub>7</sub>*

1972

ЗБ390. Получение и кристаллическая структура K<sub>2</sub>Sb<sub>4</sub>S<sub>7</sub>. Graf H. A., Schäfer H. Darstellung und Kristallstruktur des K<sub>2</sub>Sb<sub>4</sub>S<sub>7</sub>. «Z. Naturforsch.», 1972, 27b, № 7, 735—739 (нем.; рез. англ.)

*Кристал.  
структур*

Взаимодействием свежеосажденной Sb<sub>2</sub>S<sub>3</sub> с конц. р-ром K<sub>2</sub>S в запаянной ампуле при 120° получены темно-красные, обладающие металлич. блеском кристаллы K<sub>2</sub>Sb<sub>4</sub>S<sub>7</sub>, относящиеся по данным рентгенографич. исследований (камеры Вейсенберга и прецессий) к монокл. сингонии, ф. гр. C2/c с параметрами решётки  $a = 10,13$ ,  $b = 7,95$ ,  $c = 17,63\text{ \AA}$ ,  $\beta = 95,1^\circ$ ,  $Z = 4$ ,  $\rho$  (изм.) 3,6,  $\rho$  (выч.) 3,71. Структура уточнена по 800 независимым рефлексам МНК ( $R = 16\%$ ). Приведены координаты атомов. Для атомов Sb обнаружено 2 типа координац. полиэдров. Атомы

Х. 1973. № 3

$Sb_{(1)}$  образуют с 3 атомами S слегка искаженную тригон. пирамиду ( $Sb_{(1)}—S$  2,44—2,53 Å). Атомы  $Sb_{(2)}$  образуют с 4 атомами S  $\Psi$ -тригон. бипирамиду, причем расстояния  $Sb_{(2)}—S$  с аксиальными атомами S (2,73—2,74 Å) несколько длиннее экваториальных расстояний  $Sb_{(2)}—S$  (2,43—2,51 Å). Пятой вершине бипирамиды в экваториальной плоскости соответствует свободная электронная пара атома  $Sb_{(2)}$ . Оба типа полиэдров общими вершинами связаны в спиральные цепи, окруженные канальными пустотами, параллельно оси *b*. Между собой цепи связаны через общие вершины групп  $SbS_3$  и общие ребра  $SbS_4$ . Ближайшие расстояния  $Sb_{(1)}—Sb_{(1)}$  4,62—4,54,  $Sb_{(1)}—Sb_{(2)}$  3,81—4,3,  $Sb_{(2)}—Sb_{(2)}$  3,77—4,76 Å. Каждый атом S связан с 2 атомами Sb. Расстояния S—S 3,43—4,61 Å. Каждый атом K, находящийся в канальных пустотах, окружен 8 атомами S, расстояния K—S 3,19—3,61 Å.

М. Б. Варфоломеев

$K_6Sb_4S_9$

1972

$K_2SbS_2$

(Tm)

Lazarev, V.B.; Berul, S.I., Salov, A.,  
Ther., Anal., Proc., Int. Conf., 3rd 1971,  
(Pub. 1972), 2, 171-8.

(Cu, Li,  $Sb_4S_9$ ; I)

Б(6)

БП, 1042 с. 11, 1977  
X-7344

Cs<sub>3</sub> Sb<sub>2</sub> J<sub>3</sub>, Rb<sub>3</sub> Sb<sub>2</sub> J<sub>3</sub>, K<sub>2</sub> Sb J<sub>5</sub>(A4) 15

Морчанова О.Н., Зиричев Г.В.

Степанко С. Б., Плющев В. Е.

Узб. Высш. учеб. заведений. Курс  
и канд. технол., 1972, 18, №. 1281-1284

Техническая установка для  
стеклодробилок с измельчением  
и усадкой.

Дни. 1972

M (3)

KAs<sub>2</sub>

1972

E 62514q Vaporization of potassium alloys with arsenic. Voronin, G. F.; Bludova, L. N. (Khim. Fak., Mosk. Gos. Univ. im. Lomonosova, Moscow, USSR). *Zh. Fiz. Khim.* 1972, 46(12), 3088-90 (Russ). No intermetallic compds. were detected in the vapor phase during evapn. of K-As alloy at 417-843°K. An equation is derived for calcg. the activity of As in the vapor above the congruently evapg. KAs<sub>2</sub>. The temp. dependence is given of the free energy of the KAs<sub>2</sub> formation at 601-792°K.

ΔGf

C. &amp. 1973. 78. N10

K<sub>2</sub>Se·4Sb<sub>2</sub>Se<sub>3</sub>

1974

(Tm)

✓ 35433p Antimony potassium selenide-antimony triselenide (KSbSe<sub>2</sub>-Sb<sub>2</sub>Se<sub>3</sub>) system. Bazakutsa, V. A.; Gnidash, N. I.; Sukhorukova, L. N.; Vasil'eva, M. P.; Rogacheva, E. I.; Berul, S. I.; Salov, A. V.; Lazarev, V. B. (Khar'k. Politekh. Inst. im. Lenina, Kharkov, USSR). *Zh. Neorg. Khim.* 1974, 19(10), 2853-7 (Russ). The KSbSe<sub>2</sub>-Sb<sub>2</sub>Se<sub>3</sub> system was studied at 50-100 mole % Sb<sub>2</sub>Se<sub>3</sub> by crystal structure and phase anal. and by detg. elec. and thermal cond. and thermoemf. coeff. as a function of compn. All solid solns. in this system are semiconductors. The compd. K<sub>2</sub>Se·4Sb<sub>2</sub>Se<sub>3</sub> decomposes on m. 440°. A eutectic occurs at 400° and 65 mole % Sb<sub>2</sub>Se<sub>3</sub>.

C.A. 1975, 22, 16

ЗР-Х - 8974

1974

K,Sb<sub>x</sub>

13 Б802. Термодинамические исследования фоточувствительных соединений калия с сурьмой. Бородкина Н. К. В сб. «Работы по термодинам. и кинетике хим. процессов». Л., 1974, 144—147

Рассмотрен вакуумно-электрохим. метод формирования фоточувствительных сурьмяно-калиевых слоев. Для изучения фазового состава пленок K—Sb в процессе формирования в квазиравновесных условиях использована гальванич. ячейка вида K|стекло(K<sup>+</sup>)|расплав KNO<sub>3</sub>—Ca(NO<sub>3</sub>)<sub>2</sub>|стекло(K<sup>+</sup>)|K—Sb. Из измерений ее э. д. с. найдены свободные энергии и энталпии образования антимонидов при 490 К, составившие соотв.: K<sub>2</sub>Sb —  $-11,3 \pm 0,1$  и  $-11,4 \pm 0,2$ ; K<sub>5</sub>Sb<sub>4</sub> —  $-11,4 \pm 0,1$  и  $-11,6 \pm 0,2$ ; K<sub>3</sub>Sb —  $-11,7 \pm 0,1$  и  $-12,6 \pm 0,4$  ккал/г-атом. Обсуждается роль K<sub>2</sub>Sb в образовании фототока.

А. Гузей

Х. 1975 № 13.

40919.6325

Х,Мт,ТС

K<sub>3</sub>Sb 00394 01 1974  
K Sb<sub>2</sub> (46f) расчет 2397

Термодинамические свойства соединений  
калия с мышьяком. Воронин Г.Ф.,  
Блудова Л.Н.

"Вестн. Моск. ун-та. Химия", 1974, I5,  
№ 4, 433-435 (рез. англ.)

0193 ЕМЗ-1

177 180 185

ВИНИТИ

$\text{NaSbF}_4$ ,  $\text{NaSb}_2\text{F}_7$ ,  $\text{NaSb}_4\text{F}_{13}$ , №-9567 1975

$\text{Na}_2\text{SbF}_5$ ,  $\text{KSbF}_4$ ,  $\text{KSb}_2\text{F}_7$ ,  $\text{KSb}_4\text{F}_{13}$ ,  $\text{K}_2\text{SbF}_7$ ,

$\text{RbSbF}_4$ ,  $\text{RbSb}_2\text{F}_7$ ,  $\text{RbSb}_4\text{F}_{13}$ ,  $\text{Rb}_2\text{SbF}_5$ ,

$\text{CsSbF}_4$ ,  $\text{CsSb}_2\text{F}_7$ ,  $\text{CsSb}_4\text{F}_{13}$ ,  $\text{CsSbF}_5$ , 10, 13 G

$\text{NH}_4\text{SbF}_4$ ,  $\text{NH}_4\text{Sb}_2\text{F}_7$ ,  $\text{NH}_4\text{Sb}_4\text{F}_{13}$ ,  $(\text{NH}_4)_2\text{SbF}_5$  ( $T_{tr}$ ,  
Давидовик Р. А., Зеленухова Л. А.,  $T_m'$ )

Координац. химия, 1975, 1 (4), 477-81.

Системы и термическая стабильность  
фторидных комплексов трехвалентных  
содрбентов.

С. А. 1975, 83 № 6. 525822. 6 стр.

51029.1321

Ch, TC,

390-62GR

$\text{CH}_2\text{SbO}_4$

( $\Delta H_f$ )

1975

3441

Farber Milton, Srivastava R.D.

An investigation of arsenic and  
antimony additives in unseeded and  
potassium-seeded  $\text{H}_2/\text{O}_2$  flames.

"Combust. and Flame", 1975, 25, N1, 101-106

англ.)

{ в снк

460 461

33

ВИНИТИ

NaSbF<sub>6</sub>, KsBF<sub>6</sub> ( $T_{g_2}$ ) X9118 1975

Niemelä L.K.E., Vesalanen O.A.

Chem. Phys. Lett., 1975, 31, N3, 507-510/aus

Pulsed NMR studies of reorientation and  
phase transition in solid NaSbF<sub>6</sub> and KsBF<sub>6</sub>

PIH Xusn, 1975  
186894

○ 5 (cp)

# $K_3SbF_6$ (gasoh, quarp.)

1976

85: 54912x Polymorphism, high-pressure phase diagram and vibrational spectra of potassium fluoroantimonate. Heyns, Anton M.; Piatorum, Carl W. F. T. (Dep. Phys. Chem., Univ. South Africa, Pretoria, S. Afr.). *Spectrochim. Acta, Part A* 1976, 32A(3), 535-45 (Eng). Phase I of the title compd.,  $K_3SbF_6$ , which is stable at  $>16^\circ$ , is tetragonal with space group  $P4_2/mcm$  whereas the low temp. phase II is cubic with space group  $I23$  or  $I213$ . Both phases are ordered. The phase diagram of  $K_3SbF_6$  was detd. to 7 kbar and  $150^\circ$  and revealed a denser polymorph  $K_3SbF_6$  III, above the III-II-I triple point. This phase was predicted to be rhombohedral with space group  $R\bar{3}$ . The ir and Raman spectra of polycryst.  $K_3SbF_6$  were recorded at -190 to  $35^\circ$  and discussed in terms of the different structures. The results showed that the tetragonal polymorphs of  $KTaF_6$  and  $KNbF_6$  have space group  $P4_2/mcm$  and the cubic polymorphs of  $AgSbF_6$ ,  $KTaF_6$ , and  $KNbF_6$  have the same space group as  $K_3SbF_6$  II. The crystal structure of  $K_3Sb(OH)_6$  is cubic with space group  $Pn3m$ .

C.S. 1976  
85, N 8

1976

K.SbF<sub>6</sub>

9 E872. Полиморфизм, фазовая диаграмма при высоком давлении и колебательные спектры K<sub>2</sub>SbF<sub>6</sub>. Heups Anton M., Pistorius Carl W. F. T. Polyomorphism, high-pressure phase diagram and vibrational spectra of K<sub>2</sub>SbF<sub>6</sub>. «Spectrochim. acta», 1976, A 32, № 3, 535—545 (англ.)

Исследованы ИК-спектры в средней и дальней области и спектры комб. рас. поликристаллического K<sub>2</sub>SbF<sub>6</sub> в диапазоне т-р от —190 до 30° С. Эти данные наряду с рентгенографич. данными, а также изучением полиморфизма при высоких давлениях позволили определить пространственные группы различных фаз K<sub>2</sub>SbF<sub>6</sub>. Фаза K<sub>2</sub>SbF<sub>6</sub> I: устойчива при т-рах выше 16° С, тетрагональна, пр. гр.  $P4_2/mcm$ ,  $a_0 = 5,147 \text{ \AA}$ ,  $c_0 = 10,059 \text{ \AA}$ . Низкотемпературная фаза K<sub>2</sub>SbF<sub>6</sub> II; кубическая, пр. гр.  $I23 \cdot T^3$  или  $I2_13 \cdot T^5$ ,  $a_0 = 10,176 \text{ \AA}$ . Фазовая диаграмма для K<sub>2</sub>SbF<sub>6</sub> исследована до  $P = 7$  кбар и  $T = 150^\circ \text{ С}$ . Обнаружено существование более плотной фазы K<sub>2</sub>SbF<sub>6</sub> III выше тройной точки III/II/I при  $P = 3,2$  кбар и  $T = 14^\circ \text{ С}$ . Предполагается, что эта фаза является ромбодирической, пр. гр.  $R\bar{3} \cdot C_{3i}^2$ .

Е. С. Алексеев

полидар-  
группы -

Ф. 1976 № 9

1976

*K, SbF<sub>6</sub>*

16 Б962. Полиморфизм, фазовая диаграмма при высоком давлении и колебательные спектры  $\text{KSbF}_6$ . Heyns Anton M., Pistorius Carl W. F. T. Polymorphism, high-pressure phase diagram and vibrational spectra of  $\text{KSbF}_6$ . «Spectrochim. acta», 1976, A 32, № 3, 535—545 (англ.)

Методами ДТА, дифрактометрии, ИК-спектроскопии и спектров КР исследован полиморфизм  $\text{KSbF}_6$  (A). Нер-римая фракция при перекристаллизации A —  $\text{KSb(OH)}_6$ , к-рая имеет кубич. структуру:  $a = 8,125 \pm 0,004$  Å,  $Z=4$ ,  $\rho$  (выч.) 3,26 г/см<sup>3</sup>. А I — устойчива выше  $\sim 16^\circ$ , тетрагон., ф. гр.  $P4_2/mcm$ ;  $a = 5,147 \pm 0,003$ ;  $c = 10,059 \pm 0,005$  Å,  $Z=2$ ,  $\rho$  (выч.) 3,426 г/см<sup>3</sup>. Низкот-рная фаза А II также кубич., ф. гр.  $Ia\bar{3}$ —Th<sup>7</sup>;  $a = 10,176 \pm 0,008$  Å,  $Z=8$ ,  $\rho$  (выч.) 3,457 г/см<sup>3</sup>. Энтропия перехода А II  $\rightarrow$  А I, вычисленная из калориметрич. данных, равна  $1,6 \pm 0,1$  дж/моль·град. Представлена фазовая диаграмма А при т-рах до  $150^\circ$  и давл. до 10 кбар ( $1 \cdot 10^9$  н/м<sup>2</sup>), в к-рой имеется тройная точка при 3,2 кбар ( $3,2 \cdot 10^8$  н/м<sup>2</sup>) и  $14^\circ$ . Фаза А III, появляющаяся выше  $\sim 3$  кбар ( $3 \cdot 10^8$  н/м<sup>2</sup>), ромбоэдрич., ф. гр.  $R\bar{3}$ — $C_{3i}^2$ , мол. объем  $128$  Å<sup>3</sup>.

Л. Г. Титов

16 — 129 б. 73

*Ttr, cHtr,**1 Str**X. 1976. № 16*

1976

K-Sb

Karsky E.

, Thin Solid Film, 1976,  
34, NI, 139-44

(Sb<sub>f</sub>)

(ac C<sub>8</sub>; Sb<sub>x</sub>) I

K86305

1976

Sauvage J. P., et al.

C. R. Acad. Sci., 1976, C282,  
N° 17, 835-8.

(*капсулы*)  
*упаковка*.  
*пакетки*)



I  
(an  $\text{Na}_2\text{S}'\text{B}_5\text{O}_8$ )

$3K_2O \cdot 5Sb_2O_5$

1976  
B9-275-BX

24 Б940. Фазовые равновесия и рост кристаллов в системах с антимонатами щелочных металлов  $Sb_2O_4$ — $NaSbO_3$ ,  $Sb_2O_4$ — $KSbO_3$  и  $Sb_2O_4$ — $NaSbO_3$ — $NaF$ . Waring J. L., Roth R. S., Parker H. S., Brower W. S., Jr. Phase equilibria and crystal growth in the alkali antimonate systems  $Sb_2O_4$ — $NaSbO_3$ ,  $Sb_2O_4$ — $KSbO_3$ , and  $Sb_2O_4$ — $NaSbO_3$ — $NaF$ . «J. Res. Natl. Bur. Stand.», 1976, A80, № 5—6, 761—774 (англ.)

По эксперим. данным построены фазовые диаграммы систем  $Sb_2O_4$ — $NaSbO_3$ ,  $Sb_2O_4$ — $KSbO_3$  и  $Sb_2O_4$ — $NaSbO_3$ — $NaF$ . Система  $Sb_2O_4$ — $NaSbO_3$  содержит только промежут. тв. р-р типа пирохлора с максим. т. пл.  $1490^\circ$  при атомном отношении  $Na : Sb = 3 : 5$ . Система  $Sb_2O_4$ — $KSbO_3$  содержит, кроме пирохлорной фазы, соединение  $3K_2O \cdot 5Sb_2O_5$ , к-рое плавится конгруэнтио при т-ре

( $T_m$ )

( $T_m$ )

22. 1977, № 24

+3

$Sb_2O_4$ ;  $NaSbO_3$ ;  $KSbO_3$

$\approx 1450^\circ$ , а также соединение  $K_2O \cdot 2Sb_2O_5$  в двух полиморфных формах. Низкот-риая форма соединения  $K_2O \cdot 2Sb_2O_5$  имеет монокл. структуру типа  $P2_1/c$  с параметрами  $a = 7,178$ ,  $b = 13,378$ ,  $c = 11,985 \text{ \AA}$ ,  $\beta = 124^\circ 10'$ . Т. пл.  $Sb_2O_4$  найдена равной  $1350 \pm 5^\circ$ , а соединения  $NaSbO_3$  и  $KSbO_3$  плавятся конгруэнтио при т-рах  $1555 \pm 5^\circ$  и  $1410 \pm 5^\circ$  соотв. Обнаруженнная ранее кубич. форма  $KSbO_3$ , как установлено, дефектна по  $K^+$  и стабилизируется при р-ции с атмосферой влагой. Показано, что такая кубич. фаза, являющаяся хорошим ионным проводником (ионы  $Na^+$ ), может быть синтезирована в системе  $NaSbO_3 - Sb_2O_4 - NaF$ . А. Е. Вольпян



K<sub>3</sub> Sb

Бушишев В. Я,

1977

Чуктюков К. А.,  
Луценко С. П.

(144) Рук. гос. ВЧНЦ ТУ,  
11 июня 1977 г., № 2451-44.

X. 1977. № 22

(см. № 3 Га8)<sub>T</sub>

BX-1551

1977

MSBSe-MSBSe (gray-green)

M=Li, Na, K

Rayapet B.S., Canob A.B., Karimnagar  
A.L., Mianwali B.C.,  
Therm. Anal., [Proc. Int. Conf.], 5th  
1977, 167-9.

Papua New Guinea <sup>SL</sup> ea Cimbedil ...  
A. 1978, 29, N12, 95818X

B ⑩

KSF<sub>6</sub>

1977

Petrova T. D., et al.

(Gass)

Fizichy Dokl. - Ukr. Resp.  
Conf. Fiz. Khim., 12 th 1977,  
93.

av. KPF<sub>6</sub> - I

$\text{Na}_5\text{Ga}_8$ ,  $\text{KGa}_2$ ,  $\text{RbGa}_3$ ,  $\text{Na}_3\text{In}_3$ , BX-739 1971  
 $\text{K}_5\text{In}_3$ ,  $\text{Rb}_4\text{In}_5$ ,  $\text{RbPb}$ ,  $\text{RbSn}$ ,  $\text{RbGe}$ ,  $\text{K}_3\text{Bi}$ ,  $\text{Na}_3\text{Bi}$ ,  
 $\text{Rb}_3\text{Bi}$ ,  $\text{Na}_3\text{Sb}$ ,  $\text{K}_3\text{Sb}$ ,  $\text{RbSb}$ ,  $\text{Na}_3\text{As}$ ,  $\text{K}_3\text{As}$ ,  $\text{Rb}_3\text{As}$ ,  
 $\text{Na}_2\text{Te}$ ,  $\text{K}_2\text{Te}$ ,  $\text{Rb}_2\text{Te}$ ,  $\text{Na}_2\text{Se}$ ,  $\text{K}_2\text{Se}$ ,  $\text{Rb}_2\text{Se}$ ,  $\text{RbSi}$ ,  $\text{Cs}_2\text{Se}$ ,  
 $\text{Cs}_2\text{Te}(\text{Otf})$  Гусманов Б. О., Чукимонов К. А.,  
 714 м. г. Узунчек. Каузан.

Ячекко С.П. Ун-т художеств. промышл. Краснодар 1973 № 6 кнз. (Рукопись)

Чеческо С.И. Уч-м № 200  
центра АН СССР. (Свердловск, 1977. № 6 кнз. (Рукопись  
век. в Музеи II пол. 1977г. № 2751-77 дн.)

деп. в БЧИКУТУ 11.04.1977. № 251 ГРН  
Технология обработки седиментных материалов с B=3-4 мешками  
шебечников седиментных материалов  
III-IV - пруды.

PM XCOM, 1977

226811 Dcn

M, Ar (cp)

KSb

K<sub>3</sub>Sb

ВХ-1704

1978

6 Б905. Физико-химическое исследование системы калий—сурьма. Гукова Ю. Я. «Физ.-химия полупроводн. материаловед.» Воронеж, 1978, 101—102

Дается сравнение диаграммы плавкости и фотографии системы калий—сурьма. По минимумам интенсивности поглощения на фотографии определены составы, к-рые отвечают конгруэнтно плавящимся KSb и K<sub>3</sub>Sb. Что касается инконгруэнтно плавящегося K<sub>2</sub>Sb, то на фотографии этому составу также соответствует неглубокий минимум.

Резюме

$T_m$ ,  $T_{mix}$ .

х. 1979, № 6

1978

 $K_3SbTe_3$ 

9) 15 Б919. Изучение взаимодействия в системах  
 $M_2X-Sb_2X_3$ . ( $M=K, Rb, Cs; X=Se, Te$ ). Ковба Л. М.,  
 Лазарев В. Б., Мощалкова Н. А., Салов А. В.  
 «Ж. неорганической химии», 1978, 23, № 3, 774—778

С помощью ДТА и рентгенофазового анализа изучены диаграммы состояния систем  $Rb_2Se-Sb_2Se_3$ ,  $Cs_2Se-Sb_2Se_3$ ,  $K_2Te-Sb_2Te_3$ ,  $Rb_2Te-Sb_2Te_3$  и  $Cs_2Te-Sb_2Te_3$ .

пред. син.  $Rb_2Se_2$  / Г

☒



2. 1978, N 15

X<sub>2</sub> Sb F<sub>5</sub>

1979

Григоре У.И., и др.

правобое  
неподога

"Із Всес. собес. по сучасно-  
му кімпартаменту. Ростов-на-  
Дону, 1979. Муз. зоол. І.І.  
Ростов-на-Дону, 1979, 127

coll Nae SB F<sub>5</sub>-I

1949

K.SbF<sub>4</sub>

13 Б356. Повторное определение кристаллической структуры K<sub>2</sub>SbF<sub>4</sub>—фторные связи во фторантимонатах (3+). Habibi N., Ducoingt B., Bonnet B., Fourcade R. Redetermination de la structure cristalline de K<sub>2</sub>SbF<sub>4</sub>—liaison fluor dans les fluoroantimonates III. «J. Fluor. Chem.», 1979, 13, № 1, 63–72 (франц.; рез. англ.)

*Кристал.  
Структура*

Проведено рентгенографич. исследование (дифрактометр,  $\lambda$  Mo, 613 отражений,  $R_{hkl}=0,039$  с учетом анизотропных тепловых факторов) ромбич. кристаллов RSbF<sub>4</sub> (I), полученных медленным испарением при комн. т-ре р-ра стехнometрич. смеси Sb<sub>2</sub>O<sub>3</sub> и K<sub>2</sub>CO<sub>3</sub> в HF. Параметры ромбич. решетки I:  $a = 16,276$ ,  $b = 11,549$ ,  $c = 4,543$  Å,  $\rho$  (изм.) 3,62,  $\rho$  (выч.) 3,684,  $Z = 8$ . ф. гр.  $P\bar{m}\bar{n}n$ . В структуре I установлены тетрамеры Sb<sub>4</sub>F<sub>16</sub><sup>4-</sup>, расстояния Sb—F (конц.) 1,91–1,98 Å, Sb—F (мостик) 2,21–2,26 Å. Отдельные тетрамеры «сшиты» длинными связями Sb—F (2,94–2,99 Å). По виду окружения атомов Sb предположено участие пары неподеленных

2.1979 N 13

электронов в координации Sb, к-рую можно выразить как 3.3.1 SbF<sub>6</sub>E. Тетрамеры проложены атомами K, имеющими коорд. ч. 10 и 8. Расстояния K—F изменяются в пределах 2,67—2,99 Å. На основании корреляции между расстояниями Sb—F и числом атомов Sb, связанных с F в структурах фторантимонатов введено понятие «фторной» связи (по аналогии с водородной).

В. А. Ефремов

KS<sub>6</sub>

1981

Кристал.

Hönle W., et al.

Структ.

Z. Kristallogr., 1981,  
155, N3 - 4, 307 - 314.

(cet. LiP; I).

$A Sb X_2$ ,  $AB_i X_2$  ( $A = Li, Na, K, Rb, Cs$ ;  
 $X = S, Se, Te$ ) ( $T_m$ )  $B\bar{X} - 1919$

1979

Дезарев В.В., Салов А.В.,  
Берулов С.И.

Ж. Неорг. химия, 1979, 24, №3, 563-580

Синтез и физико-химические свойства  
соединений типа  $A^{\frac{1}{2}}B^{\frac{1}{2}}X_2^{VI}$

РНХим, 1979

14B2

5 (9)

1981

$KSb_4F_{13}$ ,

$KSb_2F_7$ ,

$KSbF_4$ ,

$K_2SbF_5$

95: 193158a Phase equilibria in the potassium fluoride-  
antimony trifluoride system. Sokol'nikov, V. B.; Shpanko, V.  
I.; Davidovich, R. L. (Inst. Khim., Vladivostok, USSR). *Zh.  
Neorg. Khim.* 1981, 26(10), 2885-7 (Russ). DTA and x-ray

phase anal. showed the existence of 4 incongruently melting  
compds.:  $KSb_4F_{13}$  257;  $KSb_2F_7$  268;  $KSbF_4$  296;  $K_2SbF_5$  586. A  
eutectic occurs at  $220^\circ$  and 7.4 mol%  $SbF_3$ .

Tm

C.A. 1981, 95, N 22.

KSb<sub>4</sub>F<sub>13</sub>

KSb<sub>2</sub>F<sub>7</sub>

KSbF<sub>4</sub>

K<sub>2</sub>SbF<sub>5</sub>

T<sub>m</sub>;

1981

2 Б1091. Фазовое равновесие в системе KF—SbF<sub>3</sub>. Сокольников В. Б., Шпанко В. И., Давидович Р. Л. «Ж. неорган. химии», 1981, 26, № 10, 2885—2887

Методами ДТА и рентгенофазового анализа изучено взаимодействие в бинарной системе KF—SbF<sub>3</sub>. Установлено существование четырех инконгруэнтно плавящихся соединений: KSb<sub>4</sub>F<sub>13</sub>, KSb<sub>2</sub>F<sub>7</sub>, KSbF<sub>4</sub> и K<sub>2</sub>SbF<sub>5</sub>, разложение которых наступает до достижения температуры плавления.

Резюме

X-1982, 19 АБ, N2.

*K<sub>8</sub>SnO<sub>3</sub>*

*1982*

18 Б414. Ионный обмен и проводимость соединений типа кубического KSbO<sub>3</sub>. Besse J. P., Baud G., Watelet H., Capestan M., Chevalier R. Echange d'ions et conductivité des composés de type K<sub>8</sub>SnO<sub>3</sub> cubique. «Ann. chim.» (France), 1982, 7, № 1, 35—44 (фр.; рез. англ.)

Осуществлен синтез (по различным методикам) и рентгенографич. исследование антимонидов элементов A (A=Li, Na, Rb, Ag, Tl, K), характеризующихся структурой типа кубич. KO<sub>3</sub>. В структуре этого типа октаэдры Sb соединяются ребрами в пары Sb<sub>2</sub>O<sub>10</sub> и

*ионный обмен  
структур.*

*X. 1982, 19, n 18*

далее вершинами в трехмерный каркас состава  $Sb_{12}O_{36}$ . В направлении [111] октаэдрич. каркас пронизан каналами большого сечения (до 4,2 Å), в к-рых располагаются катионы  $A^+$ , свободно диффундирующие сквозь структуру, чем объясняется высокая ионная проводимость этих соединений. При упорядоченном расположении катионов  $A^+$  симметрия структуры отвечает  $Pn\bar{3}$ , при неупорядоченном —  $Im\bar{3}$ . Наибольшей ионной проводимостью из изученных соединений характеризуется  $K_3SbO_3$ .

С. В. Соболева

$KSbF_6$

1982

$\Delta H_{aq}$ ,

$\Delta H_f$

Burgess J.; Peacock R.D.,  
Sherry B.  
*J. Fluor. Chem.*, 1982,  
20, N4, 541-554.

( $cw. SbF_5$ ; I)

$K_2SbF_5$

1982

Торгунеко Н.С., Бусланова Р.Б.

9 Всес. конгр. по кристаллографии

4 сесс. Герсогановск., Тобольск,

14-16 сент., 1982. Рассмотрен.

Тез. докт. 1982, 237 - 239.

Гр;

1 сес.  $(NH_4)_2SbF_5$ ; 1

$K_2SbF_5$

1982

$K Sb F_4$

ugp.

Kalinchenko F. V.,

$T_m$ ;

Deposited Doc.

1982, VINITI 3676-83,  
283-6.

(Cer.  $Li_3 Sb_2 F_9$ ; I)

KF-SBF<sub>3</sub>

1982

Калужского об. Б.,  
Борзеское с. Т.,

мелкоп-пор

4 гр.

газовых ГС. микротр. Калужск.,  
переходов 1982, 27, NII, 2916-2920.



лаб. Переводчи F-SBF<sub>3</sub>; №

KS<sub>8</sub><sub>5</sub>O<sub>13</sub>

1983

Boderstein Doris,  
Clegg William, et al.

Кремн.  
слюдка.

Z. Naturforsch., 1983,  
B38, №2, 172-176.

(Ce<sub>1</sub>.H<sub>3</sub>OS<sub>8</sub><sub>5</sub>O<sub>13</sub>; I)

$K_2SbF_5$

1983

11 Б3150. Исследование фазовых переходов в  $K_2SbF_5$ . Investigation of phase transitions in  $K_2SbF_5$ . Zemnukhova L. A., Davidovich R. L., Gordinienko P. S., Grigas J., Kovriyanov A. N., Kuznetsov S. I., Kaidalova T. A., Urbopavicius V. «Phys. status solidi», 1983, A80, № 2, 553—558 (англ.; рез. нем.)

В интервале т-р 77—400 К исследованы т-рные зависимости частот ЯКР на  $^{123}Sb$ , уд. теплоемкости, электрич. проницаемости и проводимости и параметров кристаллической решетки  $K_2SbF_5$ . В областях т-р 110,9—112,6, 123—124,8, 134,7—135, 140,3, 145,1—267,2 и 280—315 К обнаружены аномалии в измеренных физ. параметрах, часть из к-рых может быть приписана последовательным фазовым переходам. В интервале 113—140, 3 К переход

X.1984, 19, N 11

1-го рода при 267 К, по-видимому, 2-го рода. Ниже 267 К существует несоразмерная фаза. Ниже 124,8 К происходит переход типа блокировки в соразмерную фазу. Все переходы не сегнетоэлектрич. типа. Анализ результатов показал, что последовательные структурные фазовые переходы связаны с переориентацией, вращением группы  $[SbF_5]^{2-}$  и частичным разупорядочением решетки при т-рах выше комнатной. В. А. Ступников

*K<sub>2</sub>SbF<sub>5</sub>*

*1983*

7 E484. Исследование фазовых переходов в K<sub>2</sub>SbF<sub>5</sub>.  
Investigation of phase transitions in K<sub>2</sub>SbF<sub>5</sub>. Zemnukhova L. A., Davidovich R. L., Gordienko P. S., Grigas J., Kovriyanov A. N., Kuznetsov S. I., Kaidalova T. A., Urbonavicius V. «Phys. status solidi», 1983, A 80, № 2, 553—558 (англ.; рез. нем.)

*T<sub>tr</sub>*

Методами ЯКР, рентгенографии, измерений теплоемкости и диэлектрич. свойств исследованы фазовые превращения в K<sub>2</sub>SbF<sub>5</sub> в интервале т-р 77—400 К. Некоторые из аномалий свойств, зарегистрированных при

*окт. 1984, 18, № 7*

110,9—112,6; 123—124,8; 134,7—135; 140,3; 145,1; 267,2 и 280—315 К, могут рассматриваться как результат последовательных структурных фазовых переходов, причем в диапазоне 113—140,3 К эти переходы следует отнести к первому роду, а при 267 К — ко второму. Фазовые переходы связываются с реориентационным движением атомных групп, вращением координационных октаэдров  $[SbF_5]^{2-}$  и некоторым разупорядочением решетки при т-рах выше комнатной.

Б. Г. Алапин

*K<sub>2</sub>SbF<sub>5</sub>*

*1983*

100: 77645e Investigation of phase transitions in potassium pentafluoroantimonate (K<sub>2</sub>SbF<sub>5</sub>). Zemnukhova, L. A.; Davidovich, R. L.; Gordienko, P. S.; Grigas, J.; Kovrianov, A. N.; Kuznetsov, S. I.; Kaidalova, T. A.; Urbonavicius, V. (Inst. Chem., Far-East Sci. Cent., 232054 Vilnius, USSR). *Phys. Status Solidi A* 1983, 80(2), 553-8 (Eng). Successive structural phase transitions revealed in K<sub>2</sub>SbF<sub>5</sub> by NQR, sp. heat, dielecs. measurements and x-ray powder anal. are discussed. Phase transitions are probably assocd. with the reorientation movement, rotation of octahedra and slight disordering of the lattice above room temp.

*T<sub>tr</sub>*

C.A. 1984/109, N10

$K_3SbF_4$

$K_3Sb_4F_{15}$

1984

11 В7. Синтез и электропроводность фторантимонатов (III) щелочных металлов. Борзенкова М. П., Калинченко Ф. В., Новоселова А. В., Иванов-Шиц А. К., Сорокин Н. И. «Ж. неорган. химии», 1984, 29, № 3, 703—705

Изучены условия синтеза соединений, образующихся в системах  $MF - SbF_3$  ( $M = Li, K, Na, Rb, Cs$ ). Проведено измерение электропроводности, ( $\sigma$ ) фторантимонатов (3+) щел. металлов в интервале от 300 К до т-ры плавления. Обнаружено, что максим. величиной обладают соединения  $K_3SbF_4$  и  $K_3Sb_4F_{15}$ :  $\sigma_{180^\circ C} = 2,4$  и  $3,7 \text{ Ом}^{-1} \text{ м}^{-1}$  соответственно.

Резюме

Синтез и  
электропроводность

Х. 1984, 19, N 11

*K86F<sub>4</sub>*

Он. 19986

1984

7 Б3125. Фазовые переходы в  $\text{KSbF}_4$ . Phase transitions in  $\text{KSbF}_4$ . Davidovich R. L., Gordienko P. S., Grigas J., Kaidalova T. A., Urbonavicius V., Zemtukhova L. A. «Phys. status solidi.», 1984, A84, № 2, 387—392 (англ.; рез. нем.)

Методами РФА, ЯМР и калориметрич., ЯМР и эл. зафиксировано для  $\text{KSbF}_4$  2 фазовых перехода: в низкот-рной обл. при 190 К и в высокот-рной обл. при 483 К. Структура построена из тетрамеров  $[\text{Sb}_4\text{F}_{16}]^{14-}$  и катионов  $\text{K}^+$ . Первый низкот-рный фазовый переход является обратимым и не ведет к существенному изменению эл. проводимости; он выражается гл. обр. в разупорядочении катионов  $\text{K}^+$  при сохранении анионной подрешетки. Переход при 483 К является необратимым и приводит к образованию высокот-рной фазы, являющейся сверхпроводником. Приведены значения I и  $d(hkl)$  фазы, устойчивой при 190—483 К и высокот-рной фазы.

С. В. Соболева

X.1985, 19, № 7

*KSbF<sub>4</sub>*

*Okt. 19986*

*1984*

» 4 E692. Фазовые переходы в  $\text{KSbF}_4$ . Phase transitions in  $\text{KSbF}_4$ . Davidovich R. L., Gordienko P. S., Grigas J., Kaidalova T. A., Urbonavicius V., Zemnukhova L. A. «Phys. status solidi», 1984, A84, № 2, 387—392 (англ.; рез. нем.)

*T<sub>2</sub>*

Методами ЯКР, рентгенографии, измерений уд. теплоемкости, электропроводности и диэлектрич. проницаемости в диапазоне т-р 77—500 К исследованы структурные фазовые переходы в  $\text{KSbF}_4$  при  $T_1 = 190$  и  $T_2 = 483$  К. Переход при  $T_2$  является необратимым переходом из  $\alpha$ - в  $\beta$ - $\text{KSbF}_4$  и сопровождается ростом проводимости. Последнее обстоятельство связывается с разупорядочением анионной подрешетки. Низкотемпературный переход обусловлен разупорядочением катионной подрешетки с сохранением структуры аниона.

Б. Г. Алапин

*окт. 1985, 18, № 4*

$K\text{SbF}_4$

(Omnuck 1998) 1984

101: 161542x Phase transitions in potassium tetrafluoroantimonate ( $\text{KSbF}_4$ ). Davidovich, R. L.; Gordienko, P. S.; Grigas, J.; Kaidalova, T. A.; Urbonavicius, V.; Zemnukhova, L. A. (Inst. Chem., Vladivostok, USSR). *Phys. Status Solidi A* 1984, 84(2), 387-92 (Eng). NQR, sp. heat, and x-ray powder anal. as well as dielec. and elec. measurements reveal structural phase transitions in  $\text{KSbF}_4$  at  $T_1 = 190$  and  $T_2 = 483$  K. The anomalies of the phys. properties in the vicinity of the phase transitions are discussed. The high-temp. phase transition is a polymorphic irreversible transition  $\alpha \rightarrow \beta \text{ KSbF}_4$  into a highly conductive state.

$T_{T_2}$

C.A.1984, 101, n18

K86F3

1984

5 Б3204. Особенности образования тетрагональных и псевдокубических фаз KSbF<sub>6</sub>. Козлова С. Г., Кригер Ю. Г., Гончарук В. К., Габуда С. П. «7 Всес. симп. по химии неорган. фторидов, Душанбе, 9—11 окт., 1984». М., 1984, 185

Исследована зависимость между способом синтеза соединения KSbF<sub>6</sub> (I) и характеристиками кристаллической структуры. Установлено, что зависимость структуры от способа синтеза образцов обусловлена тем, что синтез проводится при т-рах, к-ые лежат в области т-р гистерезиса структуры и св-в I. Это неизбежно приводит к тому, что образуется либо высокот-риая модификация, либо низкот-риая. Показано, что низкот-риая фаза I, определенная по данным рентгенографии как кубич., фактически характеризуется низкосимм. и нецентросимм. структурой, полисинтетич. двойникование к-рой приводит к кажущемуся повышению симметрии.

По резюме

X. 1985, 19, N5

KSB<sub>D</sub><sub>3</sub>

1984

Селезнев Г. А., Селезневова

Г. А. и др.

Природн. колоритические и хим.  
термофигуры. Докл. на 10 Всес.  
конгр., 12-14 июня, 1984. Т. 2.  
Черноголовка, 1984, 485-487.

(см. Li<sub>5</sub>BO<sub>3</sub>; I)

K. S. F. G. (K)      [Cm. 22080]      1985

Burgess J., Peacock R. D.,  
Sherry R.,

AsH<sub>3</sub>      J. Fluor. Chem., 1985,  
29, N1-2, 50.

$KSBF_6$

1985

Burgess J., Peacock R. D.,  
et al.

$\Delta H_f$ ; J. Fluor. Chem., 1985,  
29, N° 2, 50.

(Cer.  $SBF_6^-$  (ac); F)

*KSb<sub>2</sub>PO<sub>8</sub>*

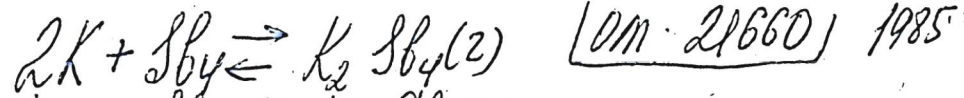
*1985*

. 5 Б2068. Кристаллическая структура  $K\text{Sb}_2\text{PO}_8$ . Crystal structure of  $K\text{Sb}_2\text{PO}_8$ . Piffard Y., Lachgar A., Tournoix M. «Mater. Res. Bull.», 1985, 20, № 6, 715—721 (англ.)

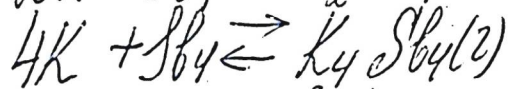
Соединение  $K\text{Sb}_2\text{PO}_8$  (I) получено при прокаливании (900° С, 24 ч) смеси стехиометрич. кол-в  $\text{NH}_4\text{H}_2\text{PO}_4$ ,  $\text{Sb}_2\text{O}_3$  и  $\text{KNO}_3$  с предварит. ее прогревом при 200° С в течение 4 ч. Проведен РСТА I ( $\lambda$  Mo, 2149 отражений,  $R$  0,019). Кристаллы монокл.,  $a$  12,306,  $b$  7,086,  $c$  15,037 Å,  $\beta$  95,82°,  $\rho$  (выч.) 4,498,  $Z$  8, ф. гр.  $Cc$ . В структуре выделяется каркас из  $\text{SbO}_6$ -октаэдров, связанных по ребрам и вершинам. Расстояния  $\text{Sb}-\text{O}$  1,909—2,08 Å. Каркас укреплен благодаря вершинным связям между  $\text{Sb}$ -октаэдрами и  $\text{P}$ -тетраэдрами (расстояния  $\text{P}-\text{O}$  1,507—1,558 Å). В полостях каркаса, вытянутых вдоль [010], расположены атомы K. Приведены  $I$ ,  $d$  ( $hkl$ ) порошкограммы I. Д. Ю. Пущаровский.

*Кристал  
структур*

*X. 1986, 19, № 5*



[OM 21660] 1985



Scheerling T; Weil K. G.,

K, Sb<sub>4</sub>,  
Ber. Bunsenges. Phys.  
Chem., 1985, 89, 811-817.

K<sub>2</sub>Sb<sub>4</sub>(z) (DM-21019)

1985

K<sub>4</sub>Sb<sub>4</sub>

Scheuring T., Weil K. G.,

Ber. Bunsenges. Phys.  
Chem., 1985, 89, N°,  
811-817.



KSB03

1985

Семёнов Р.А., Смирнова А.Н.,

Докл. Акад. СССР, 1985, 284,  
N 1, 175-178.

Pan

$K_2SbO_3$

1985

Салеевов Т. А., Салеевко-  
ва И. Н.

Докл. АН СССР, 1985,

$\Delta H_f$ :

284, № 1, 175 - 178.

(ав.  $Na_2SbO_3$ ; I)

K'SBO<sub>3</sub> 1985

Semenov G. A., Smirnova  
Li. N.

(1<sub>s</sub>H)

ニアセ-  
クリンポ-  
セコニウム

Dokl. Akad. Nauk SSSR  
1985, 284(1), 175-8.

(cer. LiSbO<sub>3</sub>; I)

*KSbF<sub>6</sub>*

*Он. 21 969 1985*

2 Б3018. Теплоемкость гексафторантимоната(5+) калия от 21 до 284 К. The heat capacity of potassium hexafluoroantimonate (V) from 21 to 284 K. Walters S. T., Staveley L. A. K. «J. Chem. Thermodyn.», 1985, 17, № 8, 781—784 (англ.)

Измерения теплоемкости куб.  $\text{KSbF}_6$  (I) в интервале 21—284 К показали отсутствие какого-либо фазового перехода в этой обл. т-р. В интервале 10—290 К табулированы термодинамич. функции I. При 298,15 К значения  $C_p$ ,  $S^\circ$ ,  $-(G^\circ - H^\circ_0)/T$  и  $H^\circ - H^\circ_0$  составили соотв. 184,2, 243,8, 129,5 Дж/моль·К и 34090 Дж/моль. Экстраполяция к этой т-ре проведена на основе линейной зависимости  $C_p(T)$  в обл. т-р 240—280 К. В отличие от гексафторофосфатов и гексагалостанинатов  $C_p$  (I) не зависит от термич. предыстории образца.

*А. С. Гузей*

*X. 1986, 19, N2*

*K SbF<sub>6</sub>*

Om. 21969 1985

103: 110929n The heat capacity of potassium hexafluoroantimonate(V) from 21 to 284 K. Walters, Stephen T.; Staveley, Lionel A. K. (Inorg. Chem. Lab., Oxford Univ., Oxford, UK OX1 3QR). *J. Chem. Thermodyn.* 1985, 17(8), 781-4 (Eng): The heat capacity of the cubic form of potassium hexafluoroantimonate(V) [16893-92-8] was measured at 21-284 K. There are no indications of any transition or thermal anomaly in this temp. range. Unlike some hexafluorophosphates and hexahalostannates, this heat capacity does not depend on the thermal history of the sample. The value obtained for the std. molar entropy of this salt at 298.15 K is (243.8 ± 0.5) J/K mol.

*GJ*

C.A. 1985, 103, N 14.

*KSbF<sub>6</sub>*

*1986*

) 12 Б2020. Влияние давления на КР-спектры твердых тел. VI.  $\text{KSbF}_6$  и  $\text{CsSbF}_6$ . The effect of pressure on the Raman spectra of solids. IV.  $\text{KSbF}_6$  and  $\text{CsSbF}_6$ . Непп A. M. «J. Phys. and Chem. Solids», 1986, 47, № 9, 913—917 (англ.)

Проведен анализ КР-спектров соединений  $\text{KSbF}_6$  (I) и  $\text{CsSbF}_6$  (II) при давл. до 40 кбар. Для I в дополнение к двум известным модификациям: устойчивой выше 300 К тетрагон. со сверхструктурой СТ  $\text{CsCl}$  и устойчивой в обычных условиях кубич. со СТ  $\text{CsCl}$  по данным КР-спектров зафиксирована еще одна модификация — фаза высокого давл., устойчивая выше 3 кбар со СТ II. Для II подтверждена принадлежность к ф. гр. R3. Детально прослежен характер расщепления полос, соотв. октаэдрич. группировкам  $\text{SbF}_6^-$  с ростом давл. Анализ зависимости характера сжимаемости I, II,  $\text{TlSbF}_6$  (III) в зависимости от расстояния катион — анион в октаэдрах, показал, что она возрастает в ряду II > III > I.

С. В. Соболева

(4)

X

X, 1987, 19, N 12.

$K\text{SbF}_6$

1986

4 Б2015. Полиморфизм и свойства поликристаллических  $\text{KSbF}_6$ ,  $\text{KNbF}_6$  и  $\text{KTaF}_6$  по данным ЯМР. Козлова С. Г., Кригер Ю. Т., Габуда С. П., Гончарук В. К. «Спектроскопия координац. соед. 4 Всес. совещ., окт., 1986». Краснодар, Б. Г., 36

полиморфизм

(+2)  $\otimes$

X. 1987, 19, N 4

*K<sub>2</sub>SbPO<sub>6</sub>*

*1986*

24 Б2082. Синтез и кристаллическая структура K<sub>2</sub>SbPO<sub>6</sub>. Preparation and crystal structure of K<sub>2</sub>SbPO<sub>6</sub>. Lachgar A., Deniard-Courant S., Piffard Y. «P. Solid State Chem.», 1986, 63, № 3, 409—413 (англ.)

Проведен РСТА ( $\lambda$  Mo, 561 отражение,  $R$  0,063) K<sub>2</sub>SbPO<sub>6</sub>, полученного твердофазным взаимодействием K<sub>2</sub>HPO<sub>4</sub>·3H<sub>2</sub>O и Sb<sub>2</sub>S<sub>5</sub>·H<sub>2</sub>O при 1173 К в течение 12 ч. в Pt-тигле. Кристаллы ромбич.  $a$  9,429,  $b$  5,891,  $c$  11,030 Å, Z 4,  $\rho$  (изм. 3,50, ф. гр. *Pnma*). Октаэдры SbO<sub>6</sub> объединены в рутилоподобные цепочки по общим ребрам. Каждый PO<sub>4</sub>-тетраэдр контактирует с двумя соседними октаэдрами образуя зубы на цепочках (SbPO<sub>6</sub>)<sup>2-</sup>, между к-рыми расположены ионы K (КЧ К по O—8). Межатомные расстояния: Sb—O 1,958—2,023, P—O 1,50—1,579, K—O 2,63—3,969 Å. Длина общего ребра O...O в октаэдрах SbO<sub>6</sub>—2,61 Å, существенно короче остальных 2,80—2,97 Å. А. Ю. Шашков

*X. 1986, 19, № 24*

K5bD<sub>2</sub>(2) OM 31553] 1986  
Селенков Т. А.,

Исследование структуры и  
термодинамики ледяных.

ДжН; Нижнекузовский сборник науч-  
ных трудов Ивановского  
промышленно-технологического  
университета, 21 выпуск, 1986,  
132-140. (есть в картотеке)

*KSbO<sub>3</sub>*

Он. 37137 1986

7 E692. Переход ильменита  $\text{KSbO}_3$  и  $\text{NaSbO}_3$  в кубическую фазу и термическая стабильность кубической фазы. Transformation of ilmenite  $\text{KSbO}_3$  and  $\text{NaSbO}_3$  to cubic phase and thermal stability of cubic phase. Shimada S., Kodaira K., Matsushita T. «Mater. Res. Bull.», 1986, 21, № 12, 1495—1501 (англ.)

Методом рентгеновской дифракции исследованы фазовые превращения  $\text{KSbO}_3$  и  $\text{NaSbO}_3$  в процессе термообработки. Исходный  $\text{KSbO}_3$  в структуре ильменита (пр. гр.  $R\bar{3}$ ) в результате выдержки при  $1100^\circ\text{C}$  в течение 8 дней переходит в кубич. фазу с пр. гр.  $Pn\bar{3}$ . Эта же ильменитовая фаза  $\text{KSbO}_3$  в присутствии KF переходит в кубич. фазу  $I\bar{m}3$ . Указанное превращение начинается при  $770^\circ\text{C}$  и завершается к  $780^\circ\text{C}$ . Фаза  $I\bar{m}3$  стабилизируется ионами  $\text{F}^-$ . Кол-во KF в фазе  $I\bar{m}3$   $\text{KSbO}_3$  7 мол. %. Установлено, что фаза  $I\bar{m}3$   $\text{KSbO}_3$  стабильна вплоть до  $1215^\circ\text{C}$ , переходит в фазу  $Pn\bar{3}$ .

*Ter;*

(1)  
18

оф. 1987, 18, № 7



дубл. 8 Кобрико

при  $1230^{\circ}\text{C}$  и окончательно превращается в структуру  $R\bar{3}$  при  $1230$ — $1250^{\circ}\text{C}$ . Синтезирована фаза  $Im\bar{3}$   $\text{NaSbO}_3$  путем нагрева смеси  $R\bar{3}$   $\text{KSbO}_3$  и  $\text{NaF}$  при  $1200^{\circ}\text{C}$ , а также при нагреве  $R\bar{3}$   $\text{NaSbO}_3$  в присутствии  $\text{NaF}$  в интервале т-р  $1300$ — $1340^{\circ}\text{C}$ .

А. И. К.



KSbO<sub>3</sub>

№ 37137

1986

рук. в лаборатории

12 Б3145. Превращение ильменитных модификаций KSbO<sub>3</sub> и NaSbO<sub>3</sub> в кубические фазы и термическая стабильность этих фаз. Transformation of ilmenite KSbO<sub>3</sub> and NaSbO<sub>3</sub> to cubic phase and thermal stability of cubic phase. Shimada S., Kodaira K., Matsushita T. «Mater. Res. Bull.», 1986, 21, № 12, 1495—1501 (англ.)

Исследован процесс превращения ильменитоподобных KSbO<sub>3</sub> (I) и NaSbO<sub>3</sub> (II) в метастабильные куб. фазы в присутствии минерализатора KF. Превращение I с исходной структурой  $\bar{R}3$  в метастабильные куб. фазы  $Pn\bar{3}$  и  $Im\bar{3}$  происходит без KF при 1100° С в течение 8 дней. В присутствии KF (к-рый смешивается с  $\bar{R}3$  при 1000° С) фаза  $\bar{R}3$  переходит в  $Im\bar{3}$  в обл. 770—780° С, причем фаза  $Im\bar{3}$  стабилизируется F<sup>-</sup>-ионами и содержание KF в полученной фазе по данным метода фотоэлектронной спектроскопии составляет 7 мол.%. Фаза  $Im\bar{3}$  переходит в  $Pn\bar{3}$  при 1215—1230° С и далее в  $\bar{R}3$  при 1230—1250° С. У II обратимый переход фазы  $\bar{R}3$  в  $Im\bar{3}$  наблюдался только в узком т-риом интервале 1300—1340° С в присутствии NaF.

Л. А. Резницкий

⊗(4)

Х. 1987, 19, N 12

$K_3Sb$   
 $K Sb$   
 $K Sb_2$

[Om. 27d92]

1987

107: 244042j Thermodynamic properties of potassium compounds with antimony. Klebanov, E. B.; Shesterkina, I. I.; Morachevskii, A. G. (Leningr. Politekh. Inst., Leningrad, USSR). *Izv. Vyssh. Uchebn. Zaved., Tsvetn. Metall.* 1987, (4), 35-7 (Russ). K and Sb form 3 congruently melting compds.:  $K_3Sb$  (m. 1085 K),  $K Sb$  (m. 883 K), and  $K Sb_2$  (m. 684 K) and an incongruently melting compd.  $K_2Sb_4$ . Free energies of formation of these compds. from the elements were detd. from polarized curves in pulse galvanostatic regime on a cathode made of solid Sb. A nitrate soln.,  $KNO_3-LiNO_3$  (40 mol %) was used. Expts. were carried out at 513 K. Free energies are tabulated for 513 and 600 K.

( $\overline{P}_m, \Delta_f f$ )

c. A. 1987, 107, N 26

RSbx 1984

Кедаев Е. Б., Игора-  
чевский А. Т. и др.

Низ горы. Всес. конгр.  
по физ. химии и элект-  
рохимии гор. распра-  
вов и тверд. электрони-  
ки, Свердловск, 20-22  
окт., 1987 Т. З. Свердловск

1987, 199-200.

(See, KBiz; I)

K-88

On. 29808

1988

12 И275. Жидкие сплавы калий—сульфурма: исследование некоторых термодинамических свойств. Liquid potassium—antimony alloys: investigation of some thermodynamic properties. Saboungi Marie-Louise, Ellefson Julie, Johnson Gerald K., Freyland Werner. «J. Chem. Phys.», 1988, 88, № 9, 5812—5817 (англ.)

Выполнены высокотемпературные измерения активности  $\gamma_K$  калия в сплавах K—Sb при 921 К в диапазоне конц-ий  $x_K = 0—0,65$ . Измерение э. д. с. проводилось в ячейке типа  $(K-Bi)(ж) | \beta-Al_2O_3 | K-Pb(ж) | \beta-Al_2O_3 | (K-Sb)(ж)$ . Из данных по  $\gamma_K$  численно рассчитана производная  $\varepsilon = (\delta \ln \gamma_K / \delta x_K)_{x_K \rightarrow 0} = -4,6 \pm 0,3$ . Используя связь между  $\varepsilon$  и интегралами радиальной ф-ции распределения  $G_{ij}$ , авторы сделали вывод об относительно сильном притяжении между подобными атомами, что может приводить к образованию кластеров или к молекулам с ковалентным типом связи. Отмечается

период. св-ва

Ф. 1988, N/2

большое отрицат. отклонение от идеальности для энергии Гиббса  $\Delta G$ , которое соответствует точке перегиба для Iпук, причем минимум  $\Delta G$  наблюдается при 55 ат.% К. Эта особенность интерпретируется как свидетельство образования стабильных соединений в расплаве. Исследование зависимости энталпии K<sub>Sb</sub> от т-ры методом капельной калориметрии свидетельствует об относительно малой добавочной теплоемкости в диапазоне т-р от 878 К до 1100 К. Библ. 20. Д. А. Лапшин

K86

03.29808

1988

1 Б3046. Жидкие сплавы калий—сурьма: исследование некоторых термодинамических свойств. Liquid potassium-antimony alloys: Investigation of some thermodynamic properties / Saboungi Marie-Louise, Ellefson Julie, Johnson Gerald K. // J. Chem. Phys.— 1988.— 88, № 9.— С. 5812—5817.— Англ.

При 921 К определены активности К в расплавах K—Sb ( $x_K$  от 0 до 0,65) из измерений э. д. с. ячейки с тв.  $K^+$ -ионным электролитом ( $\beta$ -глинозем) вида  $(K-Bi)(l)/\beta-Al_2O_3/K-Pb(l)/\beta-Al_2O_3/(K-Sb)(l)$ . Содержание К в рабочем Э задавалось методом кулонометрич. Тт. Предельный наклон зависимости  $I_{puk}$  от  $x_K$  отрицателен, что указывает на стремление атомов щел. металла к образованию кластеров (димерных или более крупных). Точка перегиба на зависимости  $I_{puk}$  от  $x_K$  соответствует эквиатомному составу и отвечает максимуму функции избыточной устойчивости Даркена. Это обстоятельство согласуется с большей относит. стабиль-

X.1989, N/

ностью эквиатомных сплавов Na или K с Bi, Pb или Te, интерпретированной в термах образования стабильных кластеров. В калориметре смешения измерена энталпия эквиатомного жидк. сплава  $K_{0,5}Sb_{0,5}$  ( $T_{fus}=877\pm 2$  К,  $\Delta_{fus}H=11,35$  кДж/моль) в обл. т-р 879—1100 К. Результаты описаны ур-нием  $H_T^\circ - H_{298,15}^\circ = -23,79557 + +7,203224 \cdot 10^{-2}T - 1,470411 \cdot 10^{-5} T^2$  кДж/моль. Теплоемкость сплава  $K_{0,5}Sb_{0,5}$  превышает сумму теплоемкостей компонентов на 14,91, 11,75 и 8,48 Дж/моль·К при 900, 1000 и 1100 К соотв. Это также подтверждает образование кластеров  $nK(l) + mSb(l) \rightleftharpoons K_nSb_m(l)$ .

А. С. Гузей



K-Sb

crelab

(H<sub>T</sub>-H, G)

OM. 29808

1988

109: 62202v Liquid potassium-antimony alloys: investigation of some thermodynamic properties. Saboungi, Marie Louise; Ellefson, Julie; Johnson, Gerald K.; Freyland, Werner (Argonne Natl. Lab., Argonne, IL 60439-4837 USA). *J. Chem. Phys.* 1988, 88(9), 5812-17 (Eng). High-temp. emf. measurements of the activity of K in liq. K-Sb alloys were carried out at 921 K for compns. covering the range  $X_K = 0$  to 0.65. A solid electrolyte of potassium-substituted beta alumina was used in a coulometric titrn. technique to generate in situ potassium. The limiting slope of  $\ln \gamma_K$  vs  $K_K$  ( $\gamma_K$  being the activity coeff. of K) was neg., which indicates that the alkali atoms tend to form clusters, such as dimers and higher order species. An inflection point in  $\ln \gamma_K$  was found at the equiat. compn., leading to a max. in the Darken excess stability function. This feature, which was recently obsd. in equiat. alloys formed between Na or K and Bi, Pb, or Te, can be interpreted in terms of the formation of stable species. An investigation of the enthalpies of KSb as functions of temp. showed a relatively small excess heat capacity in the temp. range 878-1100 K.

C.A. 1988, 109, N8

$K_3 Sb Se_4$

1989

Eisenmann B., Zagler

Z. Naturforsch. B. 1989:  
44, N 3. C. 249-256.

(cfr.  $Na_3 Sb Se_4$ ; I)

K(F<sub>2</sub>)<sub>2</sub>A<sub>3</sub>O  
(Dn. 33309) 1989

Holz K., Matthes R.,  
comptes Z. Anorg. und Allg.  
Chem. 1989, 578, II,  
133-142.



*K<sub>2</sub>SbF<sub>5</sub>*

1989

З Б3098. Несоразмерная и модулированные структуры в кристаллах K<sub>2</sub>SbF<sub>5</sub> / Удовенко А. А., Эйберман М. Ф. // 5 Всес. совещ. по кристаллохимии неорган. и координац. соед.: Сес. Секц. кристаллохимии по пробл. «Структур. аспекты сверхпроводимости», Владивосток, 23—27 сент., 1989: Тез. докл.— Черноголовка, 1989.— С. 15.— Рус.

Фотометодом (КФОР-4) и на автоматич. дифрактометре ДАР УМБ-К в интервале т-р 98—323 К исследованы кристаллы K<sub>2</sub>SbF<sub>5</sub>, к-рые согласно калориметрич. измерениям претерпевают шесть фазовых переходов (ФП). Обнаружено, что ФП при 269 К сопровождается появлением сверхструктурных рефлексов, к-рые увеличивают параметр  $a_0$  в 11 раз, при 188 К ромбич. кристаллы переходят в моноклинные с образованием доменов, при 123 К эти же рефлексы расщепляются, на 1°. Найдена методика перевода полидоменного кристалла, полученного в процессе ФП, в монодоменное состояние (не хуже 95%). Установлено, что в интервале 134—188 К кристаллы имеют несоразмерное состояние, к-roe можно представить как непрерывную последовательность ФП в кристалле с равномерным изменением угла моноко-

(P<sub>T2</sub>)

X.1990, №3

клинисти от 90 до  $65^\circ$ , т. е. несоразмерное состояние при определенных т-рах представляет собой соразмерную фазу со своими значениями параметров элементарной ячейки. Вычислена зависимость изменения величины вектора модуляции от т-ры. По полным наборам дифракц. отражений уточнена структура во всех точках между ФП. Найдена методика уточнения сверхструктур, к-рая основывается на включении ненаблюдаемых нулевых сателлитных отражений. Рассчитаны параметры модуляции атомов. Показано, что в структуре атомы расположены по закону плоской или эллиптической поляризации волн. В интервале 124—134 К ангармонические смещения атомов являются суперпозицией двух разных гармонич. волн. Показано, что расстояния Sb—F<sub>экв</sub> в полиэдрах SbF<sub>5</sub> модулированы в структуре, в то время как расстояния Sb—F<sub>акс</sub> практически не изменяются. При понижении т-ры наиболее существенные изменения происходят в координации атомов калия, что предположительно является причиной появления несоподразмерного и модулированных состояний кристалла.

Резюме

*K<sub>3</sub>SbTe<sub>3</sub>*

*1991*

- ) 6Б2031. Кристаллическая структура K<sub>3</sub>SbTe<sub>3</sub>. Crystal structure of tripotassium tritelluroantimonate (III), K<sub>3</sub>SbTe<sub>3</sub> /Eisenmann B., Zagler R. //Z. Kristallogr .—1991 .—197 № 3—4 .—С. 255—256 .—Англ.

Осуществлен синтез (вз-вием элементов в вакууме при т-ре 973 К) и РСТА ( $\lambda$  Mo, 993 К анизотропное приближение,  $R = 0,039$  для 636 отражений) черных, металловидных кристаллов K<sub>3</sub>SbTe<sub>3</sub>. Параметры кубич. решетки:  $a = 10,393 \text{ \AA}$ ,  $Z = 4$ , ф. гр. P2<sub>1</sub>3. Кристаллы относятся к СТ Na<sub>3</sub>AsS<sub>3</sub> и содержат изолированные тетраэдрич.  $\Psi$ -анионы [SbTe<sub>3</sub>]<sup>3-</sup> (Sb—Te 2,790  $\text{\AA}$ , угол TeSbTe 101,9°).

С. В. Соболева

*кристал  
структур*

*X. 1993, N6*

*K<sub>2</sub>SbF<sub>5</sub>*

*1992*

1 Б2031. Рентгеноструктурное исследование последовательных фазовых переходов в пентафтороантимонате (III) калия в интервале 323—98 К. III. Структурная модуляция /Эйберман М. Ф., Удовенко А. А. //Кристаллография.—1992.—37, № 3.—С. 753—759.—Рус.

На основе координат атомов вычислены коэф. Фурье волнового ур-ния, описывающего смещение узловых атомов в структурах несоразмерной и модулированных фаз K<sub>2</sub>SbF<sub>5</sub>. Показано, что в структуре модулированы не только позиц., но и тепловые параметры атомов.

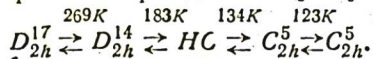
*X. 1993, N 1*

1992

*K<sub>2</sub>SbF<sub>5</sub>*

11 Е775. Рентгеноструктурное исследование последовательных фазовых переходов в пентафтороантимонате (III) калия в интервале 323—98 К. I. Динамика, симметрия и параметры решетки / Удовенко А. А., Эйберман М. Ф., Иванов С. Б., Левин А. Н., Сергиенко С. С. // Кристаллография.— 1992.— 37, № 3.— С. 729—734

Рентгенографические исследования показали, что в интервале 323—98 К кристаллы K<sub>2</sub>SbF<sub>5</sub> испытывают последовательные обратимые фазовые переходы от норм. фазы (фазы I) к четырем модулированным (фазы II, III, IV и V), одна из которых (фаза III) несоразмерная (НС). Волн. векторы модуляции этих фаз имеют вид: 2/11a\* (II), δ<sub>1</sub>a\*+δ<sub>2</sub>b\* (III), (1/6)a\*+1/6b\* и 1/2a\*+1/2b\* (IV), (1/2)a\*+1/2b\* (V). Структурные фазовые переходы в K<sub>2</sub>SbF<sub>3</sub> протекают по схеме



© 1992, N 11-12

$K_2SbF_5$

1992

11 E776. Рентгеноструктурное исследование последовательных фазовых переходов в пентафтороантимонате (III) калия в интервале 323—98 К. II. Кристаллическая структура / Удовенко А. А., Эйберман М. Ф., Давидович Р. Л. // Кристаллография.— 1992.— 37, № 3.— С. 735—753

Показано, что в кристалле  $K_2SbF_5$  несоразмерное состояние (НС) в определенных температурных точках можно представить как соразмерное и уточнять его структуру по стандартным структурным программам в трехмерном пространстве. На базе дифрактометрического эксперимента определена структура кристалла при девяти т-рах в интервале т-р 323—98 К до  $R=2,24—4,49\%$  и проанализированы структурные изменения. Ч. I см. ред. 12E775.

( $T_{t2}$ )

cp. 1992, N11-12.

$K_2SbF_5$

1992

11 E777. Рентгеноструктурное исследование последовательных фазовых переходов в пентафтороантимонате (III) калия в интервале 323—98 К. III. Структурная модуляция / Эйберман М. Ф., Удовенко А. А. // Кристаллография.— 1992.— 37, № 3.— С. 753—759

На основе координат атомов вычислены коэф. Фурье волнового ур-ния, описывающего смещения узловых атомов в структурах несоразмерной и модулированных фаз  $K_2SbF_5$ . Показано, что в структуре модулированы не только позиционные, но и тепловые параметры атомов. Ч. II см. реф. 12E776.

фаз. переход

обр. 1992, N 11-12

$K_2SbF_5$

1992

1 Б2030. Рентгеноструктурное исследование последовательных фазовых переходов в пентафтороантимонате (III) калия в интервале 323—98 К. II. Кристаллическая структура /Удовенко А. А., Эйберман М. Ф., Давидович Р. Л. //Кристаллография .—1992 .—37 ,№ 3 .—С. 735—753 .—Рус.

( $T_{E2}$ )

Показано, что в кристалле  $K_2SbF_5$  несоразмерное состояние (НС) в определенных т-рных точках можно представить как соразмерное и уточнять его структуру по стандартным структурным программам в 3-мерном пространстве. На базе дифрактометрич. эксперимента определена структура кристалла при девяти т-рах в интервале 323—98 К до  $R = 2,24—4,49\%$  и проанализированы структурные изменения.

X. 1993, N 1

$K_2SbF_5$

1992

1 Б2029. Рентгеноструктурное исследование последовательных фазовых переходов в пентафтороантимонате (III) калия в интервале 323—98 К. И. Динамика, симметрия и параметры решетки /Удовенко А. А., Эйберман М. Ф., Иванов С. Б., Левин А. Н., Сергиенко С. С. //Кристаллография .—1992 .—37 ,№ 3 .—С. 729—734 .—Рус.

(T<sub>E2</sub>)

Рентгенографическим исследованием установлено, что в интервале 323—98 К кристаллы  $K_2SbF_5$  испытывают последоват. обратимые фазовые переходы от нормальной фазы (фаза I) к четырем модулированным (фазы II, III, IV и V), одна из к-рых (фаза III) несоразмерная (НС). Волновые векторы модуляции этих фаз имеют вид:  $2/11\text{a}$  (II),  $\delta_1\text{a} + \delta_2\text{b}$  (III),  $1/6\text{a} + 1/6\text{b}$  и  $1/2\text{a} + 1/2\text{b}$  (IV),  $1/2\text{a} + 1/2\text{b}$  (V). Структурные фазовые переходы в  $K_2SbF_5$  протекают по схеме:  $D_{2h}^{17} \xrightleftharpoons[296K]{\neq} D_{2h}^{14} \xrightleftharpoons[183K]{\neq} HC \xrightleftharpoons[134K]{\neq} C_{2h}^{5} \xrightleftharpoons[123K]{\neq} C_{2h}^{5}$ .

Х. 1993, №1

*KSbO<sub>3</sub>*

*1994*

**11 Б2028.** Рентгенографическое исследование метаантимоната калия /Касенова Ш. Б., Мустафин Е. С., Касенов Б. К. //Ж. неорган. химии .—1994 .—39 ,№ 11 .—С. 1796 .—Рус.

Методом гомологии проиндцирована рентгенограмма порошка KSbO<sub>3</sub>. Установлено, что KSbO<sub>3</sub> кристаллизуется в гексагональной сингонии со следующими параметрами решетки  $a = 0.5369$ ,  $c = 1.8207$  нм;  $V^0 = 0.0984$  нм<sup>3</sup>;  $Z = 4$ ;  $\rho_{\text{рен}} = 3.52$ ;  $\rho_{\text{никн}} = 3.64 \pm 0.05$ .

*Структура*

*X. 1995, N 11*

KSb

1995

F: KSb2

P: 1

12Б229. KSb[2], новая структура, построенная из лент из связанных ребрами шестичленных колец из Sb. KSb[2], a new structure composed of ribbons of edge-shared six-membered Sb rings / Rehr A., Guerra F., Parkin S., Hope H., Kauziarich M. // Inorg. Chem. - 1995. - 34, N 24. С. 6218-6220.

- Англ. Место хранения ГПТБ

Черного цвета монокристаллы KSb[2] получены из исходных веществ K, Mn и Sb, которые были смешаны в соотношении 1:1:1, а затем в ниобиевой трубке помещены в кварцевую ампулу, нагреты до 1050 °C, охлаждены до 850 °C со скоростью 60 °C/ч и выдержаны при 850 °C неделю. Кристаллы KSb[2] образовались в качестве побочной фазы, а основной образовавшейся фазой было соединение KMnSb. Проведен РСТА монокристалла KSb[2] (Лямбда'Cu, 120 K, 521 отражение, R 4,75%, моноклинная решетка, ф. гр. C2/m, Z 4, a 14,055, b 4,233, c 7,053 Å,

Кристалл  
СМР-РА

X. 1996, N 12

'бета' 95,02°). K<sub>3</sub>Sb[2] характеризуется новым структурным типом с особым полиационным остовом (Sb[2]){-} из шестичленных колец из атомов Sb, которые имеют по два общих ребра и образуют ленты в направлении а. Межатомные расстояния Sb-Sb составляют 2,861 и 2,842 Å. Атомы K располагаются между лентами из шестичленных колец из атомов Sb и имеют октаэдрическое окружение, расстояния K-Sb находятся в пределах 3,545-3,884 Å. Исходя из полученных температурных зависимостей электросопротивления, K<sub>3</sub>Sb[2] является полупроводником.. Кристаллическая структура.

K8803

1996

Kasenova Sh. B.; Musta -  
Kasenov B.K.; Musta -  
fin E.S.,

Gp, nephos-  
qz - uue

High Temp. (Transl.)  
of Tectofiz. (High Temp.)  
1996, 84(3), 481-483

(all.



Na8803; I)

KSB O<sub>3</sub>

1996

Каевсова И. Б.,

Каевсов В. К. и др.

Сп, перевод. Тираж спеч. борок.

Ф-104  
издание первое. 1996.

34, № 3. С. 485-487.

(сост. Na SBO<sub>3</sub>; ?)

$K_3SbO_4$

1997

128: 53873e Thermochemistry of  $K_3SbO_4$ . Kasenova, Sh. B.; Kase-nov, B. K.; Mustafin, E. S.; Aldabergenov, M. K. (Khim.-Metall. Inst., AN Kazakhstan, Karaganda, Kazakhstan). *Zh. Neorg. Khim.* 1997, 42(4), 660-661 (Russ), MAIK Nauka. Soln. enthalpy of  $K_3SbO_4$  was detd. calorimetrically at different dilns. From these data the soln. enthalpy of  $K_3SbO_4$  in std. aq. soln. and the std. formation enthalpy of the compd.,  $-1504 \pm 1.0$  kJ/mol were calcd.

( $\Delta_f H$ )

P.A. 1998, 128, N5

*K<sub>3</sub>SbO<sub>4</sub>*

1997

**22Б329.** Термохимия K<sub>3</sub>SbO<sub>4</sub> / Касенова Ш. Б.,  
Касенов Б. К., Мустафин Е. С., Алдабергенов М. К. // Ж.  
неорган. химии.— 1997.— 42, № 4.— С. 660–661.— Рус.

На микрокалориметре ДАК-1-1А при разбавлении моль  
антимоната:моль воды, равном 1:8000, 1:12 000 и 1:16 000,  
определен энталпия растворения K<sub>3</sub>SbO<sub>4</sub>. По получен-  
ным данным вычислены энталпия растворения K<sub>3</sub>SbO<sub>4</sub>  
в стандартном водном растворе и его стандартная эн-  
талпия образования из простых веществ, равная —  
 $1504 \pm 1,0$  кДж/моль.

(ΔH<sub>sol</sub>, ΔH<sub>f</sub>)

Х. 1997, № 22

2000

F: K<sub>3</sub>SbO<sub>4</sub>

P: 1

135:10450 Heat capacity and thermodynamic functions of K<sub>3</sub>SbO<sub>4</sub> in the range 298.15-673 K. Kasenov, B. K.; Mustafin, E. S.; Kasenova, Sh. B.; Khaidargalieva, Sh. A. Khim.-metall. Inst., NTS KPMS MON RK, Karaganda, Kazakhstan. Izv. Minist. Obraz. Nauki Resp. Kaz., Nats. Akad. Nauk Resp. Kaz., Ser. Khim. (2000), (5), 118-121. in Russian. The heat capacity curves were constructed for potassium antimonate in the temp. interval of 298-673 K. Second-order phase transitions were revealed at 573 and 648 K. Thermodn. parameters of the compd. formation are reported in the temp. interval mentioned above.